

05.2; 07

© 1990

ВЫСОКОЭФФЕКТИВНОЕ ПАРАМЕТРИЧЕСКОЕ УСИЛЕНИЕ
СВЕТА ПРИ ИНЖЕКЦИИ ИЗЛУЧЕНИЯ ЛАЗЕРА
НА ЦЕНТРАХ ОКРАСКИ

И.А. Б е г и ш е в, А.А. Г у л а м о в,
Ш.Р. К а м а л о в, Т. У с м а н о в,
А.Д. Х а д ж а е в

В настоящей работе сообщается о высокоэффективном преобразовании энергии (56%) в процессе параметрического усиления света в кристалле КДР при инжекции предварительно сформированного сигнального пучка с конформным профилем [1] лазера на F_2^- центрах окраски (ЦО). Выходная энергия параметрических волн составила 0.66 Дж, что соответствует коэффициенту усиления более 10^4 , при ширине спектральной линии 0.006 \AA и расходимости излучения, близкой к дифракционной. В результате суммирования частот параметрических волн и волны накачки (эффективность процесса 40%) получено плавно перестраиваемое по частоте излучение в УФ области спектра с энергией 0.54 Дж.

Ранее сообщалось о суперлюминесцентных параметрических генераторах света (ПГС) на кристаллах АДР и КДР инфракрасного [2, 3] и видимого [4] диапазонов с выходной энергией в несколько джоулей и высокоэффективным (~70%) преобразованием энергии накачки в параметрическом усилителе. Эти ПГС имели существенный недостаток: относительно большую расходимость излучения (~ 10^{-2} рад) и широкую спектральную линию (~ 10 \AA). Радикальное улучшение спектральных и угловых характеристик возможно при инжекции в кристалл-усилитель узкополосного и направленного затравочного сигнала [5, 6].

В [1] теоретически показано, что за счет придания поперечно-му распределению интенсивности волны затравочного сигнала специальной формы, так называемой конформной к профилю накачки, возможно полное преобразование энергии возбуждающего излучения в параметрические волны.

Экспериментальное исследование процесса параметрического усиления проводилось при накачке излучением второй гармоники лазера на фосфатном неодимовом стекле [7]. Параметры излучения лазера: плотность мощности до 5 ГВт/см², длительность импульса – 0.5 нс, диаметр пучка на полувысоте – 36 мм, расходимость – 55 мкрад, пространственное распределение интенсивности – гипергауссовая функция с показателем степени $N=4$. Излучение лазера удваивается по частоте в кристалле КДР. Вторая гармоника после выделения дисперсионной призмой и сжатия 2x

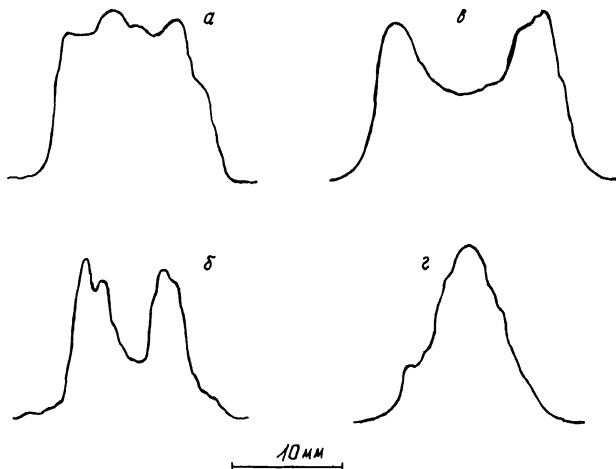


Рис. 1. Профили пространственного распределения интенсивности излучения накачки (а, в) и конформные к ним профили инжектируемого сигнала (б, г).

кратным телескопом служит накачкой параметрического усилителя на кристаллах КДР длиной 50 мм (тип взаимодействия $c - co$).

В качестве затравочного сигнала используется излучение лазера на F_2^- ЦО. Энергия излучения затравочного сигнала 1 мДж, длительность импульса – 30 нс, ширина спектральной линии $\sim 0.06 \text{ \AA}$, диапазон перестройки 1.09–1.21 мкм. Импульсы накачки и затравочного сигнала совмещаются во времени, телескопической системой диаметр пучка затравочного сигнала согласуется с диаметром пучка излучения накачки, выставляется близкая к дифракционной расходимость, формируется близкий к конформному (по отношению к излучению накачки) профиль пространственного распределения интенсивности. На рис. 1, а представлен профиль пространственного распределения интенсивности излучения накачки, на рис. 1, б – конформный профиль пространственного распределения интенсивности затравочного сигнала. Через дисперсионную призму соосно с излучением накачки излучение затравочного сигнала подается на вход кристалла-параметрического усилителя. На рис. 2 представлены зависимости эффективности преобразования энергии в параметрические волны от плотности мощности накачки для одно- (а) и двухкристальной (б) схем для пары конформных профилей 1, а-1, б. Максимальные эффективности составили 45% и 56% соответственно. Эффективность преобразования определяется соотношением: $\gamma = \frac{E_p}{E_p + E_o}$, где E_p – суммарная энергия параметрических волн и E_o – остаток энергии излучения накачки после параметрического усилителя. Одновременно определяется величина баланса

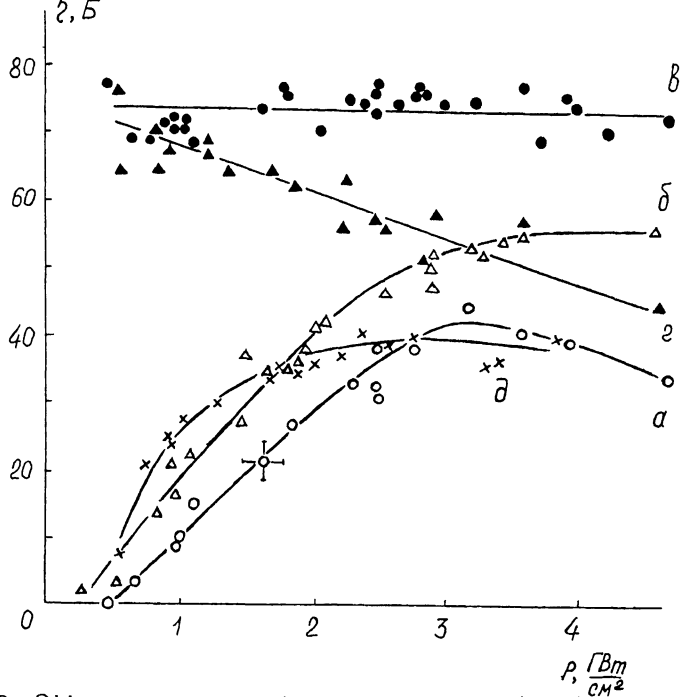


Рис. 2. Эффективность преобразования энергии (а, б) и изменение баланса (в, г) параметрического усилителя и эффективность процесса суммирования (д) в зависимости от плотности мощности излучения накачки.

энергий — отношения суммарной энергии на всех частотах после параметрического усилителя к падающей энергии накачки. На рис. 2 представлены значения баланса энергий в зависимости от плотности мощности накачки для одно- (в) и двухкристального (г) параметрического усилителя, которым соответствуют зависимости 2, а и 2, б. Для случая однокристального параметрического усилителя получены угловые и спектральные характеристики усиливаемых волн такие же, как у затравочного сигнала. При двухкристальной схеме параметрического усилителя наблюдается некоторое уширение угловых и спектральных характеристик результирующего излучения, что обусловлено появлением неколлинеарной параметрической генерации, и что в свою очередь сопровождается уменьшением величины баланса энергии (рис. 2, г) с ростом интенсивности накачки.

Таким образом, для случая однокристального параметрического усилителя (кристалл КДР длиной 50 мм) суммарная энергия параметрических волн составила 0.66 Дж, что соответствует коэффициенту усиления более 10^4 .

При использовании затравочного сигнала с гауссовым профилем пространственного распределения интенсивности (рис. 1, г) и из-

лучения накачки с конформным к нему профилем (рис. 1, в) в двухкристальном параметрическом усилителе величина максимальной эффективности преобразования энергии составила 47%.

Было проведено суммирование частот сигнальной волны однокристального параметрического усилителя и волны накачки в кристалле КДР (длиной 10 мм, взаимодействие $\text{e}^+ - \text{e}^-$), установленном после кристалла параметрического усилителя. На рис. 2, д представлена зависимость эффективности процесса суммирования от плотности мощности излучения, падающего на первый кристалл. Эффективность процесса суммирования достигала 40% при энергии излучения в УФ области спектра более 0.54 Дж. Диапазон перестройки для выбранной схемы процесса суммирования составил 339–350 нм. В случае использования взаимодействия $\text{O}^+ - \text{e}^-$ в кристалле КДР и суммирования холостой волны параметрического усилителя с волной накачки диапазон перестройки 355–367 нм.

Список литературы

- [1] Ерофеев Е.А., Ибрагимов Е.А., Усманов Т. // Appl. Phys. B. 1988. V. 47. P. 359–360
- [2] Ахманов С.А., Бегишев И.А., Гуламов А.А., Ерофеев Е.А., Жданов Б.В., Кузнецов В.И., Рашкович Л.Н., Усманов Т.Б. // Квантовая электроника. 1984. Т. 11, № 9. С. 1701–1702.
- [3] Барейка Б.Ф., Бегишев И.А., Бурдулис Ш.А., Гуламов А.А., Ерофеев Е.А., Пискарская А.С., Сируткайтис В.А., Усманов Т. // Письма в ЖТФ. 1986. Т. 12. В. 3. С. 186–189.
- [4] Бегишев И.А., Гуламов Е.А., Ерофеев Е.А., Усманов Т. // Письма в ЖТФ. 1987. Т. 13, В. 5. С. 305–309.
- [5] Абдуллин У.А., Джотян Г.П., Дьяков Ю.Е., Жданов Б.В., Прялкин В.И., Соболев В.Б., Холодных А.И. // Квантовая электроника. 1984. Т. 11, № 4. С. 800–808.
- [6] Лунчев В.А., Магницкий С.А., Малахов В.И., Тарасевич А.П., Тункин В.Г., Якубович С.Д. // Квантовая электроника. 1985. Т. 12, № 2. С. 403–404.
- [7] Бегишев И.А., Гуламов А.А., Ерофеев Е.А., Редкоречев В.И., Усманов Т. // Изв. АН СССР. Сер. физическая. 1983. Т. 47. № 10. С. 1910–1918.

Институт электроники
им. У.А. Арифова
АН Узбекской ССР, Ташкент

Поступило в Редакцию
23 июля 1990 г.